



Corso di Robotica 2

Modello dinamico dei robot: analisi, estensioni, proprietà, identificazione, usi

Prof. Alessandro De Luca

DIPARTIMENTO DI INFORMATICA
E SISTEMISTICA ANTONIO RUBERTI

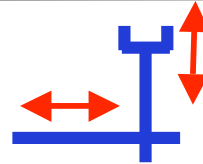


SAPIENZA
UNIVERSITÀ DI ROMA



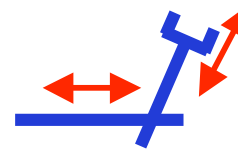
Analisi accoppiamenti inerziali

- robot cartesiano



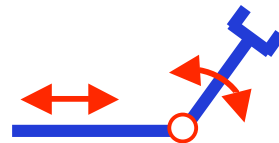
$$B = \begin{pmatrix} b_{11} & 0 \\ 0 & b_{22} \end{pmatrix}$$

- robot cartesiano "diagonale"



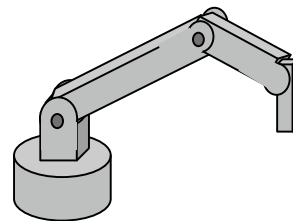
$$B = \begin{pmatrix} b_{11} & b_{12} \\ b_{21} & b_{22} \end{pmatrix}$$

- robot PR



$$B(q) = \begin{pmatrix} b_{11} & b_{12}(q_2) \\ b_{21}(q_2) & b_{22} \end{pmatrix}$$

- robot 3R articolato



$$B(q) = \begin{pmatrix} b_{11}(q_2, q_3) & 0 & 0 \\ 0 & b_{22}(q_3) & b_{23}(q_3) \\ 0 & b_{23}(q_3) & b_{33} \end{pmatrix}$$

- il modello dinamico risulta lineare se

- $g \equiv 0$

- B costante $\Rightarrow c \equiv 0$



$$\begin{aligned} d &= 0 \text{ in PR} \\ d_2 &= 0 \text{ in 2R} \end{aligned}$$



baricentro braccio 2
su asse giunto 2



Analisi termine di gravità

- bilanciamento statico
 - distribuzione masse e inerzie (inclusi i motori)
- compensazione meccanica
 - sistemi articolati di molle
 - catene cinematiche chiuse
- assenza di gravità
 - applicazioni spaziali
 - U costante (moto su piano orizzontale)

→ $g(q) \approx 0$

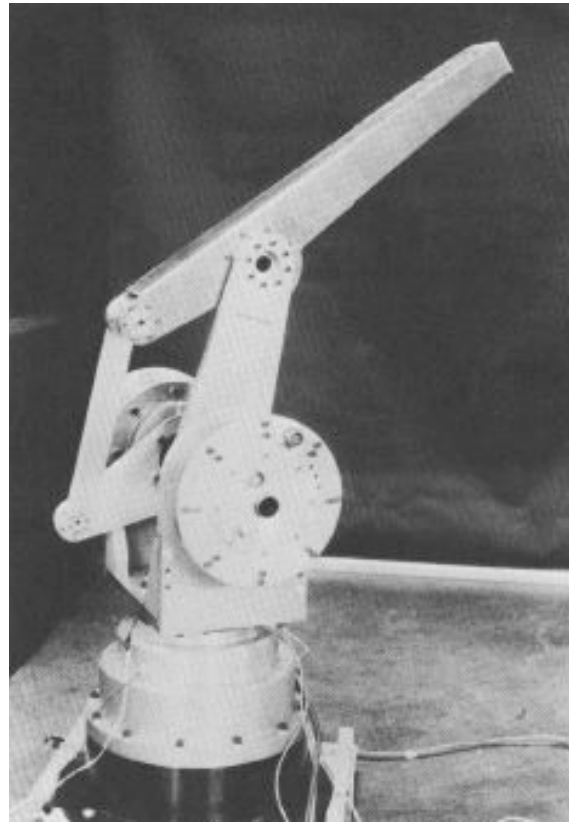




Robot con maglie chiuse

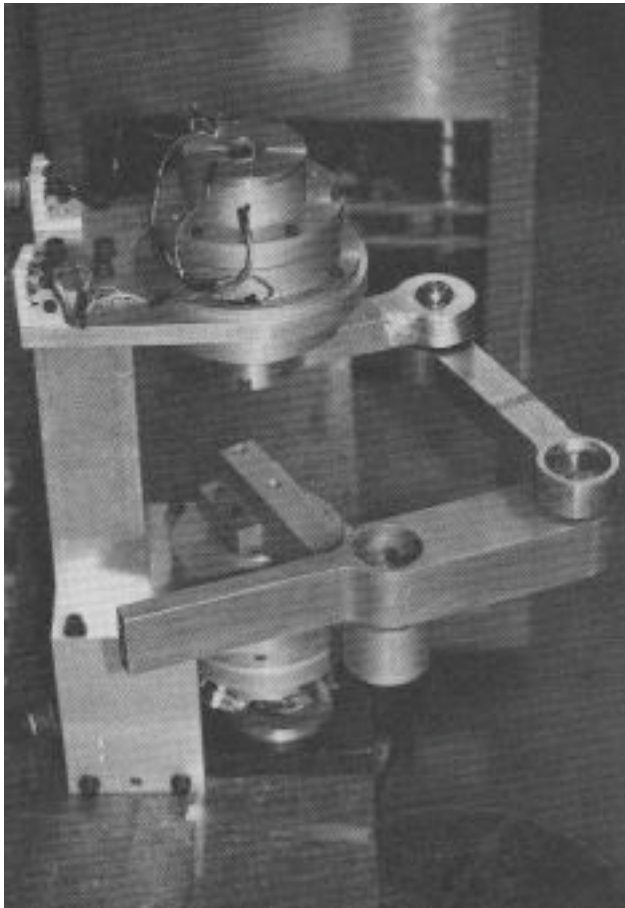


Comau Smart NJ130

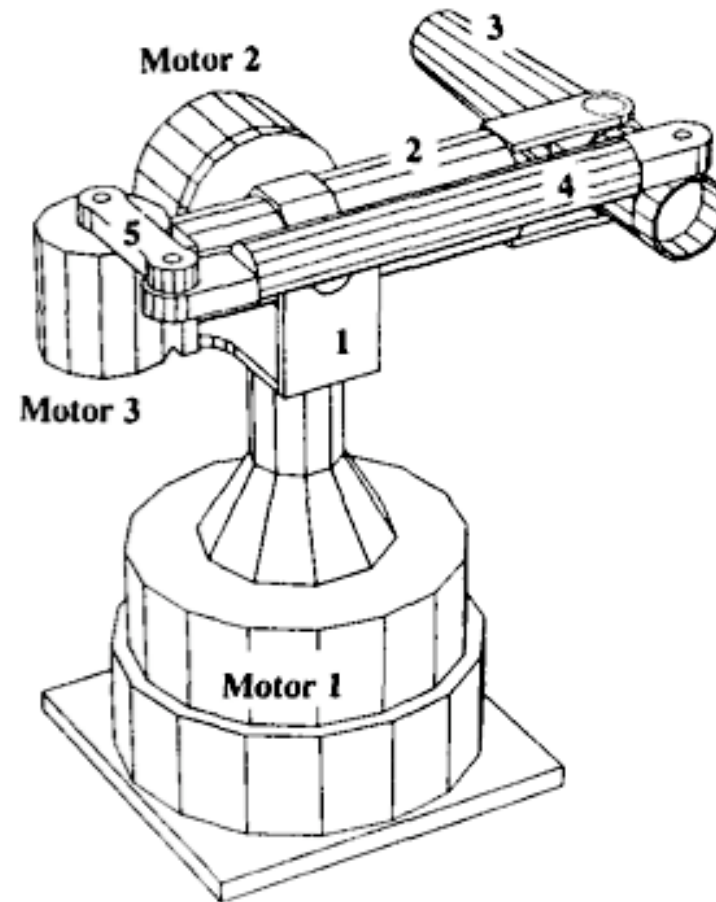


MIT Direct Drive Mark II e Mark III

Robot con maglie chiuse

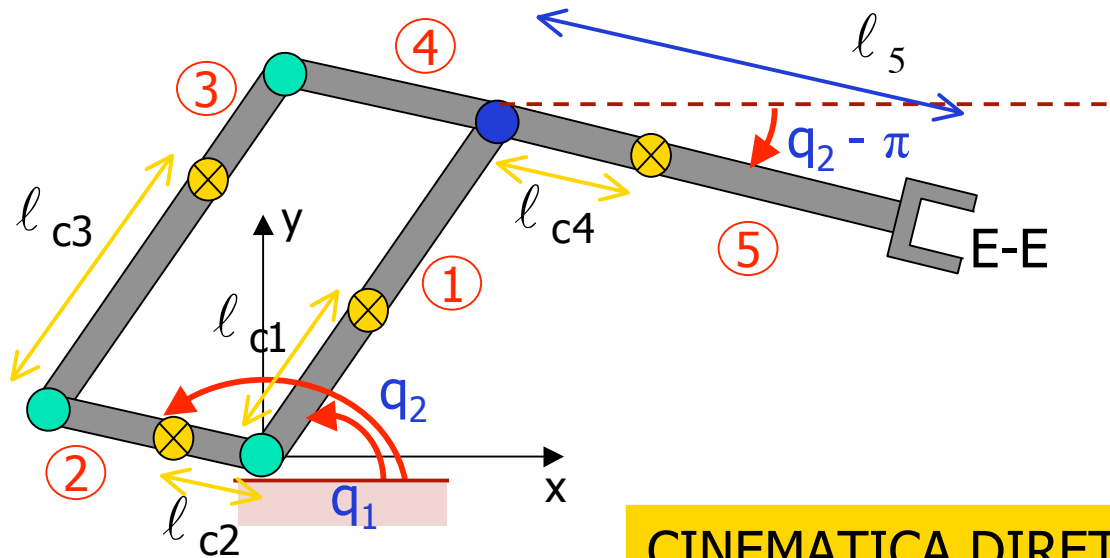


MIT Direct Drive Mark IV
(five-bar linkage **planare**)



UMinnesota Direct Drive Arm
(five-bar linkage **spaziale**)

Robot a parallelogramma cinematica e dinamica (planare)



⊗ baricentri:
 l_{ci} arbitrarie
 parallelogramma:
 $l_1 = l_3$
 $l_2 = l_4$

CINEMATICA DIRETTA

$$p_{EE} = \begin{pmatrix} l_1 c_1 \\ l_1 s_1 \end{pmatrix} + \begin{pmatrix} l_5 \cos(q_2 - \pi) \\ l_5 \sin(q_2 - \pi) \end{pmatrix} = \begin{pmatrix} l_1 c_1 \\ l_1 s_1 \end{pmatrix} - \begin{pmatrix} l_5 c_2 \\ l_5 s_2 \end{pmatrix}$$

POSIZIONI BARICENTRI

$$p_{c1} = \begin{pmatrix} l_{c1} c_1 \\ l_{c1} s_1 \end{pmatrix} \quad p_{c2} = \begin{pmatrix} l_{c2} c_2 \\ l_{c2} s_2 \end{pmatrix} \quad p_{c3} = \begin{pmatrix} l_2 c_2 \\ l_2 s_2 \end{pmatrix} + \begin{pmatrix} l_{c3} c_1 \\ l_{c3} s_1 \end{pmatrix} \quad p_{c4} = \begin{pmatrix} l_1 c_1 \\ l_1 s_1 \end{pmatrix} - \begin{pmatrix} l_{c4} c_2 \\ l_{c4} s_2 \end{pmatrix}$$



Calcolo energia cinetica

VELOCITA' LINEARI E ANGOLARI

$$\begin{aligned} \mathbf{v}_{c1} &= \begin{pmatrix} -l_{c1} \mathbf{s}_1 \\ l_{c1} \mathbf{c}_1 \end{pmatrix} \dot{q}_1 & \mathbf{v}_{c2} &= \begin{pmatrix} -l_{c2} \mathbf{s}_2 \\ l_{c2} \mathbf{c}_2 \end{pmatrix} \dot{q}_2 & \mathbf{v}_{c3} &= \begin{pmatrix} -l_{c3} \mathbf{s}_1 \\ l_{c3} \mathbf{c}_1 \end{pmatrix} \dot{q}_1 + \begin{pmatrix} -l_2 \mathbf{s}_2 \\ l_2 \mathbf{c}_2 \end{pmatrix} \dot{q}_2 \\ \mathbf{v}_{c4} &= \begin{pmatrix} -l_1 \mathbf{s}_1 \\ l_1 \mathbf{c}_1 \end{pmatrix} \dot{q}_1 - \begin{pmatrix} -l_{c4} \mathbf{s}_2 \\ l_{c4} \mathbf{c}_2 \end{pmatrix} \dot{q}_2 & \omega_1 = \omega_3 = \dot{q}_1 & \omega_2 = \omega_4 = \dot{q}_2 \end{aligned}$$

T_i

$$T_1 = \frac{1}{2} m_1 l_{c1}^2 \dot{q}_1^2 + \frac{1}{2} I_{1,zz} \dot{q}_1^2 \quad T_2 = \frac{1}{2} m_2 l_{c2}^2 \dot{q}_2^2 + \frac{1}{2} I_{2,zz} \dot{q}_2^2$$

$$T_3 = \frac{1}{2} I_{3,zz} \dot{q}_1^2 + \frac{1}{2} m_3 (l_2^2 \dot{q}_2^2 + l_{c3}^2 \dot{q}_1^2 + 2 l_2 l_{c3} \mathbf{c}_{2-1} \dot{q}_1 \dot{q}_2)$$

$$T_4 = \frac{1}{2} I_{4,zz} \dot{q}_2^2 + \frac{1}{2} m_4 (l_1^2 \dot{q}_1^2 + l_{c4}^2 \dot{q}_2^2 - 2 l_1 l_{c4} \mathbf{c}_{2-1} \dot{q}_1 \dot{q}_2)$$



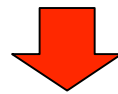
Matrice di inerzia

$$T = \sum_{i=1}^4 T_i = \frac{1}{2} \dot{q}^T B(q) \dot{q}$$

$$B(q) = \begin{pmatrix} I_{1,zz} + m_1 l_{c1}^2 + I_{3,zz} + m_3 l_{c3}^2 + m_4 l_1^2 & \text{symm} \\ (m_3 l_2 l_{c3} - m_4 l_1 l_{c4}) c_{2-1} & I_{2,zz} + m_2 l_{c2}^2 + I_{4,zz} + m_4 l_{c4}^2 + m_3 l_2^2 \end{pmatrix}$$

condizione strutturale
nel progetto meccanico

$$m_3 l_2 l_{c3} = m_4 l_1 l_{c4} \quad (*)$$



$B(q)$ diagonale e **costante** \Rightarrow termini centrifughi e di Coriolis \equiv **nulli**

modello dinamico (a meno di $g(q)$)
meccanicamente **DISACCOPPIATO** e **LINEARE**

vantaggio per il progetto del controllore del moto!



Energia potenziale e termini di gravità

dalle componenti y dei vettori p_{ci}

U_i

$$U_1 = m_1 g_0 l_{c1} s_1$$

$$U_2 = m_2 g_0 l_{c2} s_2$$

$$U_3 = m_3 g_0 (l_2 s_2 + l_{c3} s_1)$$

$$U_4 = m_4 g_0 (l_1 s_1 - l_{c4} s_2)$$

$$U = \sum_{i=1}^4 U_i$$

$$g(q) = \left(\frac{\partial U}{\partial q} \right)^T = \begin{pmatrix} g_0 (m_1 l_{c1} + m_3 l_{c3} + m_4 l_1) c_1 \\ g_0 (m_2 l_{c2} + m_3 l_2 - m_4 l_{c4}) c_2 \end{pmatrix} = \begin{pmatrix} g_1(q_1) \\ g_2(q_2) \end{pmatrix} \quad \text{componenti disaccoppiate}$$

nel caso (*) \rightarrow
$$\begin{aligned} b_{11} \ddot{q}_1 + g_1(q_1) &= u_1 \\ b_{22} \ddot{q}_2 + g_2(q_2) &= u_2 \end{aligned}$$
 u_i coppia (non conservativa) che compie lavoro su q_i

ulteriori condizioni strutturali nel progetto meccanico portano a $g(q) \equiv 0$



Aggiunta di termini dinamici

- fenomeni **dissipativi** per attrito ai giunti
 - **viscoso**, **secco**, di primo distacco, di Coulomb ...
 - effetti locali ai giunti
 - di difficile modellizzazione in generale, tranne per

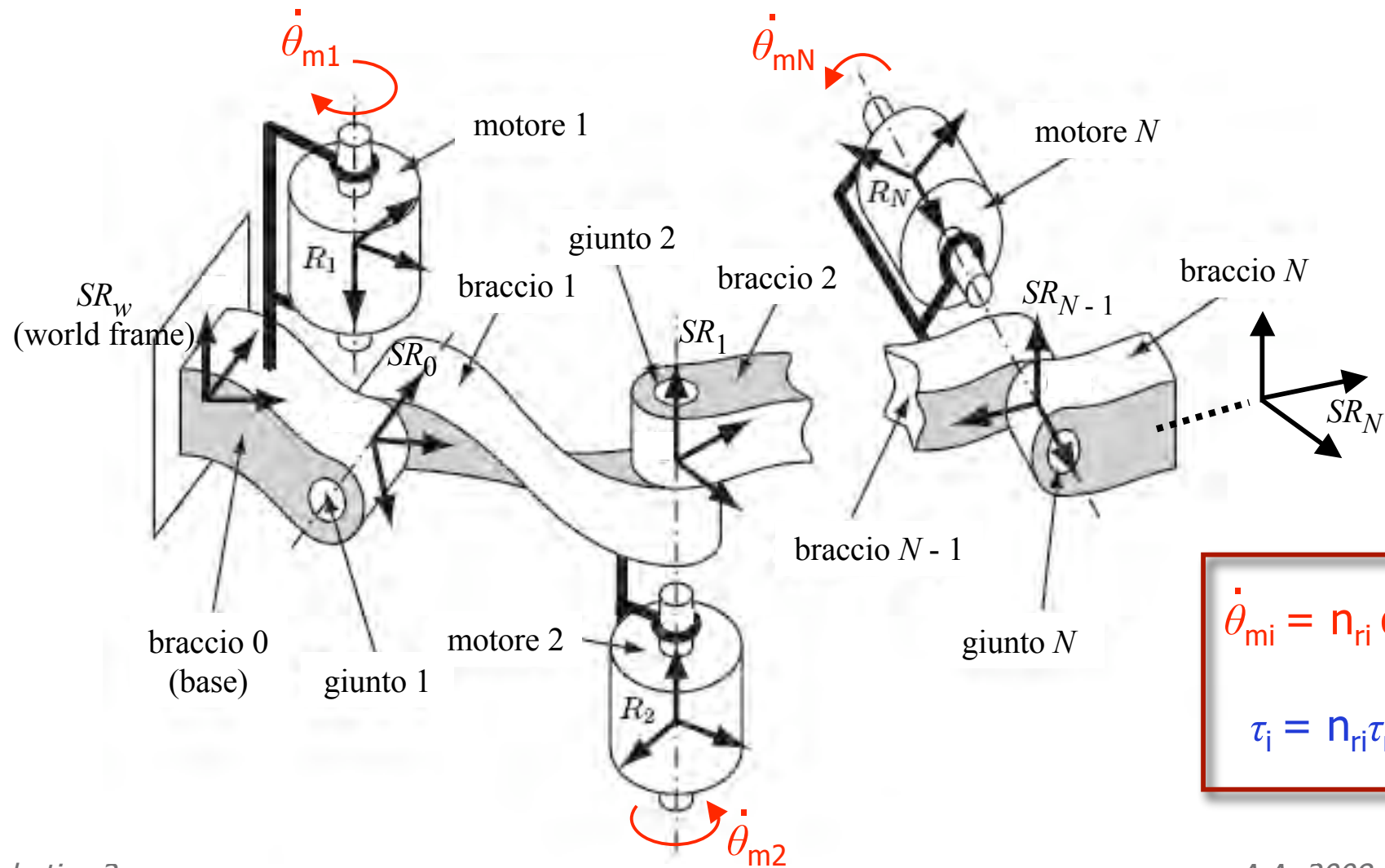
$$u_{V,i} = -F_{V,i} \dot{q}_i$$

$$u_{S,i} = -F_{S,i} \operatorname{sgn}(\dot{q}_i)$$

- inclusione degli **attuatori** elettrici (visti come corpi rigidi)
 - motore i montato sul braccio $i-1$ (o precedente), in genere in asse con il giunto i
 - **massa** motore (bilanciata sull'asse) inclusa in quella del braccio
 - **inerzia** (del rotore) da **aggiungere** nell'energia cinetica
 - trasmissione con **riduttori** (spesso con rapporto elevato)
 - a volte più motori cooperano per muovere più giunti: matrice di trasmissione T con accoppiamenti (elementi fuori diagonale)



Dislocazione dei motori



$$\dot{\theta}_{mi} = n_{ri} \dot{q}_i$$
$$\tau_i = n_{ri} \tau_{mi}$$



Modello dinamico finale

- **semplificazione:** nella parte **rotazionale** dell'energia cinetica, si considera solo la velocità di "spinning" del rotore

$$T_{mi} = \frac{1}{2} I_{mi} \dot{\theta}_{mi}^2 = \frac{1}{2} I_{mi} n_{ri}^2 \dot{q}_i^2 = \frac{1}{2} B_{mi} \dot{q}_i^2 \quad T_m = \sum_{i=1}^N T_{mi} = \frac{1}{2} \dot{q}^T \underset{\substack{\uparrow \\ \text{diagonale}}}{B_m} \dot{q}$$

- con tutti i termini aggiuntivi, il modello diventa

$$(B(q) + B_m) \ddot{q} + c(q, \dot{q}) + g(q) + \underbrace{F_v \dot{q} + F_s \operatorname{sgn}(\dot{q})}_{\substack{F_v > 0, F_s > 0 \\ \text{diagonali}}} = \tau \quad \leftarrow \text{coppie } \text{motrici} \text{ (a valle dei riduttori)}$$

↓ costante → non fornisce contributi in c



Parametrizzazione lineare della dinamica

è sempre possibile riscrivere il modello dinamico nella forma

matrice di regressione a = vettore dei coefficienti dinamici

$$B(q)\ddot{q} + c(q, \dot{q}) + g(q) = Y(q, \dot{q}, \ddot{q}) a = u$$

$N \times p$ $p \times 1$

ESEMPIO 2R

$$\begin{pmatrix} \ddot{q}_1 & c_2(2\ddot{q}_1 + \ddot{q}_2) - s_2(\dot{q}_2^2 + 2\dot{q}_1\dot{q}_2) & \ddot{q}_2 & c_1 & c_{12} \\ 0 & c_2\ddot{q}_1 + s_2\dot{q}_1^2 & \ddot{q}_2 & 0 & c_{12} \end{pmatrix} \begin{pmatrix} a_1 \\ a_2 \\ a_3 \\ a_4 \\ a_5 \end{pmatrix} = \begin{pmatrix} u_1 \\ u_2 \end{pmatrix}$$

N.B.: con attrito viscoso e secco, quattro coefficienti in più...



Coefficienti dinamici del robot 2R

$$a_1 = I_{1,zz} + m_1 d_1^2 + I_{2,zz} + m_2 d_2^2 + m_2 \ell_1^2$$

$$a_2 = m_2 \ell_1 d_2$$

$$a_3 = I_{3,zz} + m_2 d_2^2$$

$$a_4 = g_0 (m_1 d_1 + m_2 \ell_1)$$

$$a_5 = g_0 m_2 d_2$$

10 **parametri dinamici** per ogni braccio (corpo rigido):
 m [1], r_c [3], I [6]



si combinano per fornire i **coefficienti dinamici** del robot: tutti e soli quelli rilevanti nel modello dinamico del robot

N.B. se g_0 noto e ℓ_1 noto (cinematica!), allora

$$a_2 = \ell_1 m_2 d_2 = \ell_1 a'_2 \quad a_5 = g_0 m_2 d_2 = g_0 a'_2 \quad \rightarrow \quad a'_2 = m_2 d_2 \quad \text{sono sufficienti 4 coefficienti!}$$

è importante determinare una **parametrizzazione minima** per

- l'identificazione sperimentale dei coefficienti dinamici
- il controllo adattativo del moto in presenza di incertezze parametriche



Identificazione dinamica

- per “usare” il modello, occorre conoscere i valori numerici dei **coefficienti dinamici** del robot
 - al più, solo i principali parametri dinamici sono forniti dal costruttore
- **stime** approssimate sono deducibili con strumenti CAD
- i coefficienti di attrito sono (lentamente) variabili nel tempo
 - lubrificazione dei giunti/trasmissioni
- in presenza di un “payload” (carico solidale all’E-E)
 - variano i 10 parametri dell’ultimo braccio
 - questo si riflette in variazioni di tutti (o quasi) i coefficienti dinamici
- necessari **esperimenti** preliminari di **identificazione**
 - robot in movimento (aspetti “dinamici”, non statici o geometrici!)
 - identificabili solo i **coefficienti** dinamici (ma non tutti i parametri..)



Esperimenti di identificazione

1. **scegliere** una traiettoria di moto "eccitante"
 - esplora lo spazio di lavoro e coinvolge tutta la dinamica del robot
 - periodica, con molteplici componenti frequenziali
2. **eseguire** il moto in modo approssimato con un controllore
 - sfruttando l'informazione disponibile sul modello
 - in genere, $u = K_p(q_d - q) + K_D(\dot{q}_d - \dot{q})$ (PD, nessuna informazione)
3. **misurare** q (encoder) e, se disponibile, \dot{q} in n_c istanti
 - accelerazione (oltre a velocità) ricavabile **fuori linea** mediante differenziazione numerica (possibile l'uso di filtri non causali)
4. con tali misure/stime e i comandi applicati, **valutare** il regressore Y a sinistra e la parte destra nell'espressione

$$Y(q(t_k), \dot{q}(t_k), \ddot{q}(t_k)) a = u(t_k) \quad k = 1, \dots, n_c$$



Identificazione ai minimi quadrati

- costruire il sistema **lineare** di equazioni

$$n_c \times N \begin{matrix} \uparrow \\ \left(\begin{array}{c} Y(q(t_1), \dot{q}(t_1), \ddot{q}(t_1)) \\ \vdots \\ Y(q(t_{n_c}), \dot{q}(t_{n_c}), \ddot{q}(t_{n_c})) \end{array} \right) \\ \downarrow \end{matrix} \mathbf{a} = \begin{pmatrix} u(t_1) \\ \vdots \\ u(t_{n_c}) \end{pmatrix} \iff \bar{\mathbf{Y}} \mathbf{a} = \bar{\mathbf{u}}$$

- traiettorie "eccitanti" e selezione del numero di campioni ($n_c \times N \gg p$) e loro posizione garantiscono **rango**($\bar{\mathbf{Y}}$) = p
- risolvere mediante **pseudo-inversione** della $\bar{\mathbf{Y}}$

$$\mathbf{a} = \bar{\mathbf{Y}}^\# \bar{\mathbf{u}} = (\bar{\mathbf{Y}}^\top \bar{\mathbf{Y}})^{-1} \bar{\mathbf{Y}}^\top \bar{\mathbf{u}}$$

- eventualmente si può "pesare" la pseudo-inversa, per tener conto di livelli differenti di rumore sulle misure



Dinamica inversa

- data una **traiettoria desiderata** di moto $q_d(t)$
 - differenziabile due volte ($\exists \ddot{q}_d(t)$)
 - eventualmente ottenuta da una $r_d(t)$ cartesiana, mediante inversione cinematica (differenziale)

la **coppia motrice** necessaria ad eseguirla è

$$\tau_d = (B(q_d) + B_m)\ddot{q}_d + c(q_d, \dot{q}_d) + g(q_d) + F_v \dot{q}_d + F_s \operatorname{sgn}(\dot{q}_d)$$

- questo calcolo algebrico ($\forall t$) **non** è però **efficiente** con l'approccio Lagrangiano
 - termini simbolici molto lunghi
 - in tempo reale, meglio il calcolo numerico con **Newton-Eulero**
 - utile per il controllo (feedforward nominale)



Equazioni di stato

(Dinamica diretta)

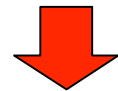
modello dinamico
Lagrangiano

$$B(q)\ddot{q} + c(q, \dot{q}) + g(q) = u$$

N equazioni
differenziali
del 2° ordine

definendo il vettore di variabili di stato $x = \begin{pmatrix} x_1 \\ x_2 \end{pmatrix} = \begin{pmatrix} q \\ \dot{q} \end{pmatrix} \in \mathbb{R}^{2N}$

equazioni di stato



$$\dot{x} = \begin{pmatrix} \dot{x}_1 \\ \dot{x}_2 \end{pmatrix} = \begin{pmatrix} x_2 \\ -B^{-1}(x_1)[c(x_1, x_2) + g(x_1)] \end{pmatrix} + \begin{pmatrix} 0 \\ B^{-1}(x_1) \end{pmatrix} u$$

2N equazioni
differenziali
del 1° ordine

$$= f(x) + G(x)u$$

\uparrow $2N \times 1$ \uparrow $2N \times N$

altra possibile scelta

$$\tilde{x} = \begin{pmatrix} q \\ B(q)\dot{q} \end{pmatrix}$$

momento
generalizzato

$\dot{\tilde{x}} = \dots$ (esercizio)

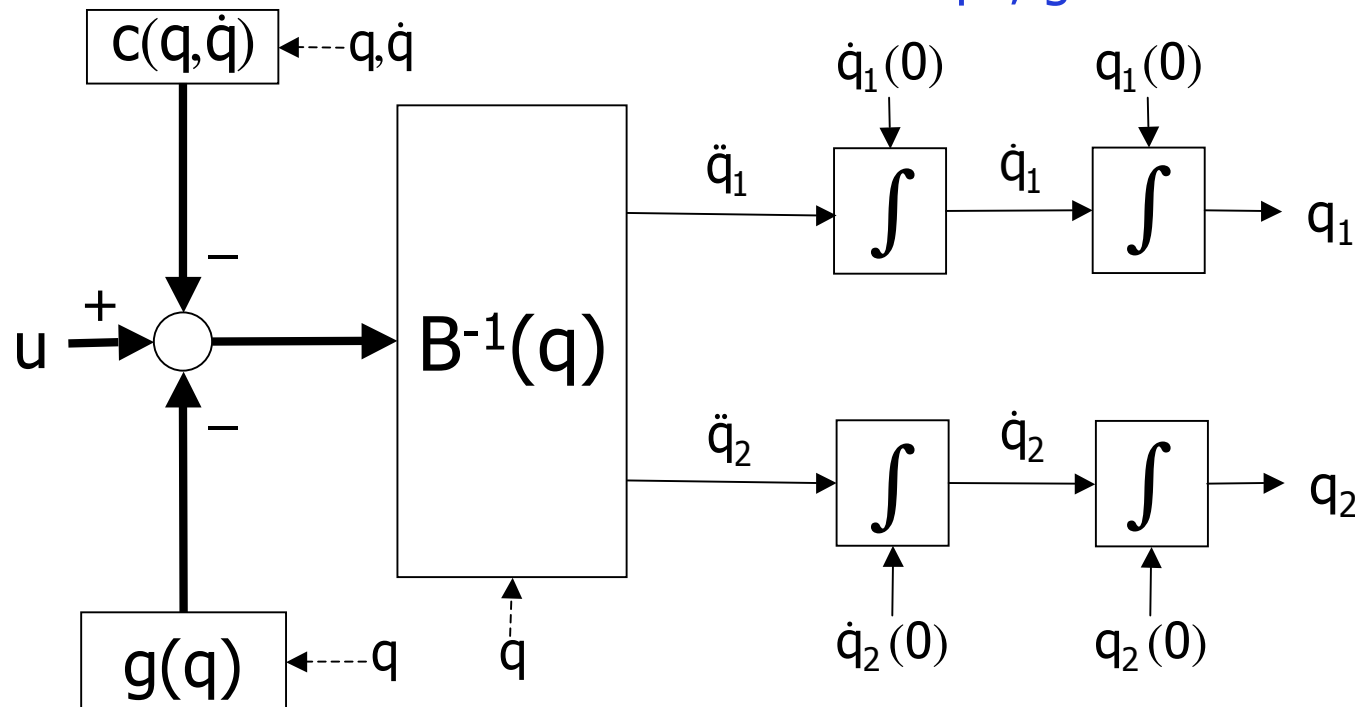


Simulazione dinamica

schema
a blocchi
Simulink

qui, generico robot a 2 dof

comando
d'ingresso
(ad anello
aperto o
in feedback)

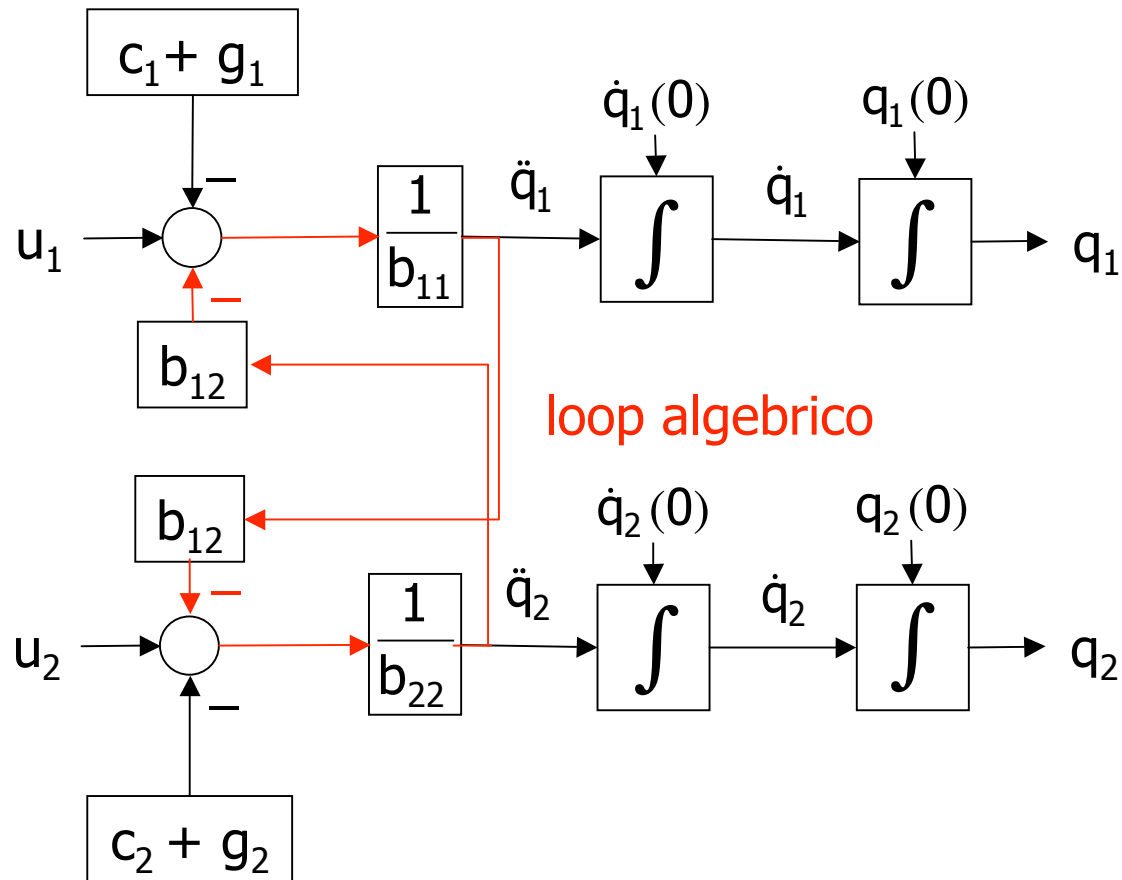


inclusa "inv(B)"

- inizializzazione (coefficienti dinamici e stato iniziale)
- chiamate a funzioni Matlab per valutazione numerica termini modello
- scelta metodo di integrazione (e suoi parametri)



... una realizzazione scorretta



NO!
viola il
principio di
causalità

occorre invertire l'intera matrice di inerzia
(non solo i suoi termini in diagonale)



Linearizzazione approssimata

- si può ricavare un modello dinamico **lineare** del robot, valido **localmente** intorno alla condizione operativa
 - utile per l'analisi e il progetto di controllori locali/lineari
 - approssimazione mediante sviluppo di Taylor al primo ordine
 - linearizzazione intorno ad uno **stato di equilibrio** (costante) o intorno ad una **traiettoria di equilibrio** (nominale, tempo variante)
 - si può procedere lavorando sulle equazioni di stato, ma conviene direttamente usare il modello del secondo ordine
 - il risultato è lo stesso, ma la derivazione è più facile...

stato di equilibrio $(q, \dot{q}) = (q_e, 0) \quad [\ddot{q}_e = 0] \quad \longrightarrow \quad g(q_e) = u_e$

traiettoria di equilibrio $(q, \dot{q}) = (q_d(t), \dot{q}_d(t))$

$$\longrightarrow \quad B(q_d) \ddot{q}_d + c(q_d, \dot{q}_d) + g(q_d) = u_d$$



Linearizzazione in un punto

- variazioni intorno ad uno stato di equilibrio

$$q = q_e + \Delta q \quad \dot{q} = \dot{q}_e + \Delta \dot{q} = \Delta \dot{q} \quad \ddot{q} = \ddot{q}_e + \Delta \ddot{q} = \Delta \ddot{q} \quad u = u_e + \Delta u$$

- tenendo conto della dipendenza quadratica di c dalle velocità (termini influenti intorno a velocità nulla)

$$B(q_e)\Delta\ddot{q} + \underbrace{g(q_e) + \frac{\partial g}{\partial q}\bigg|_{q=q_e}}_{G(q_e)} \Delta q + o(\|\Delta q\|, \|\Delta \dot{q}\|) = u_e + \Delta u$$

infinitesimi di ordine superiore al primo

- nello spazio di stato

$$\Delta x = \begin{pmatrix} \Delta q \\ \Delta \dot{q} \end{pmatrix} \quad \Delta \dot{x} = \begin{pmatrix} 0 & I \\ -B^{-1}(q_e)G(q_e) & 0 \end{pmatrix} \Delta x + \begin{pmatrix} 0 \\ B^{-1}(q_e) \end{pmatrix} \Delta u = \bar{A} \Delta x + \bar{B} \Delta u$$



Linearizzazione lungo traiettoria

- variazioni intorno ad una traiettoria di equilibrio

$$\mathbf{q} = \mathbf{q}_d + \Delta \mathbf{q} \quad \dot{\mathbf{q}} = \dot{\mathbf{q}}_d + \Delta \dot{\mathbf{q}} \quad \ddot{\mathbf{q}} = \ddot{\mathbf{q}}_d + \Delta \ddot{\mathbf{q}} \quad \mathbf{u} = \mathbf{u}_d + \Delta \mathbf{u}$$

- sviluppando i vari termini nel modello dinamico

$$\mathbf{B}(\mathbf{q}_d + \Delta \mathbf{q}) \Delta \ddot{\mathbf{q}} + \mathbf{c}(\mathbf{q}_d + \Delta \mathbf{q}, \dot{\mathbf{q}}_d + \Delta \dot{\mathbf{q}}) + \mathbf{g}(\mathbf{q}_d + \Delta \mathbf{q}) = \mathbf{u}_d + \Delta \mathbf{u}$$

$$\mathbf{B}(\mathbf{q}_d + \Delta \mathbf{q}) \cong \mathbf{B}(\mathbf{q}_d) + \sum_{i=1}^N \left. \frac{\partial \mathbf{b}_i}{\partial \mathbf{q}} \right|_{\mathbf{q}=\mathbf{q}_d} \mathbf{e}_i^T \Delta \mathbf{q}$$

i-esima riga della matrice Identità

$$\mathbf{c}(\mathbf{q}_d + \Delta \mathbf{q}, \dot{\mathbf{q}}_d + \Delta \dot{\mathbf{q}}) \cong \mathbf{c}(\mathbf{q}_d, \dot{\mathbf{q}}_d) + \underbrace{\left. \frac{\partial \mathbf{c}}{\partial \mathbf{q}} \right|_{\substack{\mathbf{q}=\mathbf{q}_d \\ \dot{\mathbf{q}}=\dot{\mathbf{q}}_d}}}_{\mathbf{C}_1(\mathbf{q}_d, \dot{\mathbf{q}}_d)} \Delta \mathbf{q} + \underbrace{\left. \frac{\partial \mathbf{c}}{\partial \dot{\mathbf{q}}} \right|_{\substack{\mathbf{q}=\mathbf{q}_d \\ \dot{\mathbf{q}}=\dot{\mathbf{q}}_d}}}_{\mathbf{C}_2(\mathbf{q}_d, \dot{\mathbf{q}}_d)} \Delta \dot{\mathbf{q}}$$

$$\mathbf{g}(\mathbf{q}_d + \Delta \mathbf{q}) \cong \mathbf{g}(\mathbf{q}_d) + \mathbf{G}(\mathbf{q}_d) \Delta \mathbf{q}$$



Linearizzazione lungo traiettoria (cont)

- semplificando...

$$B(q_d)\Delta\ddot{q} + C_2(q_d, \dot{q}_d)\Delta\dot{q} + D(q_d, \dot{q}_d, \ddot{q}_d)\Delta q = \Delta u$$

con

$$D(q_d, \dot{q}_d, \ddot{q}_d) = G(q_d) + C_1(q_d, \dot{q}_d) + \sum_{i=1}^N \left. \frac{\partial b_i}{\partial q} \right|_{q=q_d} \ddot{q}_d e_i^T$$

- nello spazio di stato

$$\begin{aligned} \Delta\dot{x} &= \begin{pmatrix} 0 & I \\ -B^{-1}(q_d)D(q_d, \dot{q}_d, \ddot{q}_d) & -B^{-1}(q_d)C_2(q_d, \dot{q}_d) \end{pmatrix} \Delta x + \begin{pmatrix} 0 \\ B^{-1}(q_d) \end{pmatrix} \Delta u \\ &= \bar{A}(t) \Delta x + \bar{B}(t) \Delta u \end{aligned}$$

un sistema lineare, ma **tempo variante!!**



Trasformazione di coordinate

$$q \in \mathbb{R}^N \quad B(q)\ddot{q} + c(q, \dot{q}) + g(q) = B(q)\ddot{q} + n(q, \dot{q}) = u_q \quad 1$$

se si vogliono utilizzare nuove coordinate generalizzate p

$$\begin{aligned} p \in \mathbb{R}^N \quad p = f(q) &\longrightarrow q = f^{-1}(p) \\ \dot{p} = \frac{\partial f(q)}{\partial q} \dot{q} = J(q)\dot{q} &\longrightarrow \dot{q} = J^{-1}(q)\dot{p}, \quad u_q = J^T(q)u_p \\ \ddot{p} = J(q)\ddot{q} + \dot{J}(q)\dot{q} &\longrightarrow \ddot{q} = J^{-1}(q)[\ddot{p} - \dot{J}(q)J^{-1}(q)\dot{p}] \end{aligned} \quad \left. \begin{array}{l} \\ \\ \end{array} \right\} \longrightarrow 1$$

$$B(q)J^{-1}(q)\ddot{p} - B(q)J^{-1}(q)\dot{J}(q)J^{-1}(q)\dot{p} + n(q, \dot{q}) = J^T(q)u_p$$

$J^{-T}(q) \cdot$ premoltiplicando tutta l'equazione...



Trasformazione del modello

$$J^{-T}(q)B(q)J^{-1}(q)\ddot{p} + J^{-T}(q)\left(n(q,\dot{q}) - B(q)J^{-1}(q)\dot{J}(q)J^{-1}(q)\dot{p}\right) = u_p$$

$$q \rightarrow p$$

per calcolo e analisi
queste sostituzioni
non sono necessarie

$$q, \dot{q} \rightarrow p, \dot{p}$$

forze generalizzate
non conservative
che compiono
lavoro sulle p

$$B_p(p)\ddot{p} + c_p(p,\dot{p}) + g_p(p) = u_p$$

$$B_p = J^{-T}BJ^{-1} \quad \begin{array}{l} \text{simmetrica e} \\ \text{definita positiva} \\ \text{(fuori da singularità)} \end{array} \quad g_p = J^{-T}g$$

$$c_p = J^{-T}\left(c - BJ^{-1}\dot{J}J^{-1}\dot{p}\right) = J^{-T}c - B_p\dot{J}J^{-1}\dot{p} \quad \begin{array}{l} \text{dipendenza} \\ \text{quadratica da } \dot{p} \end{array}$$

$$c_p(p,\dot{p}) = S_p(p,\dot{p})\dot{p} \quad \dot{B}_p - 2S_p \text{ antisimmetrica}$$

se p = posa dell'E-E, questo è il **modello dinamico cartesiano** del robot